

ساختار جریان نوسانی و انتقال حرارت از دو سیلندر مربعی گرم پشت سرهم

امین اطمینان^۱

Etminan.amin@gmail.com

چکیده

بررسی جریان اطراف موانع با سطح مقطع‌های متفاوت و تعیین ضرایب نیروهای وارد بر آنها از طرف جریان، از اهمیت زیادی برخوردار است. همچنین تعیین میزان انتقال حرارت از این اجسام در مدارهای الکترونیکی جهت خنکاری صحیح ارزش بالایی دارد. در این تحقیق بطور عددی در محدوده اعداد رینولدز $Re = 1-200$ جریان اطراف موانع مربعی شکل پشت سرهم با فواصل مختلف بررسی شده است. با حل معادلات ناویر-استوکس و انرژی، کمیت‌های مختلف میدان جریان سیال و دما بدست آمده است. در محدوده اعداد رینولدز بررسی شده هر دو رژیم جریان‌های دائم و غیردائم بوجود می‌آیند. برای فاصله بین سیلندری $G=5$ عدد رینولدز بحرانی در محدوده $Re = 35-40$ تعیین شده است. اثر افزایش عدد رینولدز و تغییر فاصله بین موانع بر الگوی جریان، میدان دما و همچنین کمیت‌های کلی جریان مطالعه شده است. مقایسه نتایج مختلف مخاطب بنتایج آزمایشگاهی و عددی موجود توافق خوبی را نشان می‌دهد.

کلیدواژه:

حجم محدود- جریان آرام- شبیه‌سازی عددی- ریزش گردابه- انتقال حرارت

بر رفتار جریان اطراف یکدیگر، بر پیچیدگی‌های برسی جریان اطراف یک جسم تنها می‌افزاید. این نوع جریان‌ها را می‌توان بر اساس تعداد، نحوه قرارگیری، شکل سطح مقطع جسم جریان‌بند و آزاد یا محصور بودن جریان تقسیم‌بندی نمود. تاتسوتائی و همکاران جریان ناپایای دوبعدی غیرقابل تراکم حول دو سیلندر مربعی با ابعاد متفاوت در حالت پشت سرهم در یک کanal با عرض 20 برابر عرض سیلندر بزرگ را به دو روش آزمایشگاهی و عددی مطالعه کردند [۴]. آنها تأثیر فاصله بین سیلندرها بر رفتار جریان را برای $Re=1600-200$ بررسی کردند. جریان سیال و انتقال حرارت از دو سیلندر مستطیلی پشت سرهم در یک کanal توسط والنسیا شبیه سازی عددی شد [۵,۶]. نتایج تحقیقات او نشان داد که وجود سیلندرهای مستطیلی در برابر جریان، باعث افزایش ضریب اصطکاک شده و افت فشار را هم افزایش می‌دهد. روسالس و همکاران جریان اطراف دو سیلندر مربعی با اندازه‌های متفاوت و نحوه قرارگیری مختلف نسبت به هم در یک کanal را به طور عددی شبیه سازی کردند [۷]. آنها نقش سیلندر بالادست، بر رفتار جریان اطراف سیلندر پایین دست را مطالعه کردند. نتایج مطالعات آنها نشان داد که ضریب پسا سیلندر پایین دست با حرکت به طرف دیوارهای کanal کاهش یافته و همچنین بیشترین مقدار عدد استروهال زمانی بدست می‌آید که سیلندرها در مرکز کanal و پشت سرهم قرار دارند. میزوشیما و آکیناگا بطور عددی به بررسی پدیده ریزش گردابه از یک ردیف سیلندر مربعی هم اندازه پرداختند [۸]. آنها عدد رینولدز بحرانی را برای فواصل بین سیلندری متفاوت تعیین نمودند و همچنین دریافتند که ریزش گردابه از سیلندرها می‌تواند هم فاز یا با اختلاف فاز باشد، که فاصله بین سیلندرها مشخص کننده این موضوع است. اطمینان و سوهانکار تأثیر فاصله بین سیلندری $G=5-2$ را بر رفتار جریان اطراف دو سیلندر مربعی و انتقال حرارت از آنها در اعداد رینولدز $Re=100,150,200$ مطالعه کردند [۹]. همچنین آنها اختلاف فاز ریزش گردابه از سیلندرها و میزان انتقال حرارت از آنها را مورد بررسی قرار دادند. بعلاوه ین و همکاران مشخصه‌های جریان اطراف دو سیلندر مربعی پشت سر هم نصب شده در یک مخزن آب را به روش آزمایشگاهی مطالعه نمودند [۱۰]. هدف از تحقیق حاضر، مطالعه عددی جریان عبوری از دو مانع پشت سر هم با مقطع مربعی جهت یافتن اثرات تغییر عدد رینولدز و فاصله بین مانع بر ویژگی‌های جریان و انتقال حرارت از مانع دما ثابت است. شکل (۱) هندسه در نظر گرفته شده را در شبیه‌سازی های عددی نشان می‌دهد. با انجام محاسبات در محدوده اعداد رینولدز $Re=1-200$ ، عدد پرانتل $Pr=0.71$ و فاصله بین

۱- مقدمه

جریان اطراف اجسام با شکل‌های مختلف، یکی از مسائل مهم در مهندسی مکانیک است. از این دسته جریان‌ها می‌توان به جریان اطراف ساختمان و سازه‌های بلند، پایه‌های پل‌ها و سازه‌های دریایی، همچنین جریان اطراف مولدهای اغتشاش در مبدل‌های حرارتی اشاره کرد. زمانیکه جسمی در معرض جریان قرار دارد، در محل برخورد جریان با دیوارهای جسم، نیروهای فشاری و اصطکاکی از طرف جریان بر جسم وارد خواهد شد. یک جسم جریان‌بند، جسمی است که سطح مقطع در مقابل جریان نسبتاً بزرگی داشته باشد. جریان پس از عبور از چنین جسمی، در ناحیه پشت آن می‌تواند یک ناحیه چرخشی و ویک بزرگ ایجاد نماید. به علاوه اجسام خط جریانی از قبیل ایرفویل‌ها نیز در زوایای حمله بزرگ می‌توانند شبیه به یک جسم جریان‌بند عمل کنند. همچنین جسمی که سطح مقطع مقابل جریان بزرگ‌تری داشته باشد، جسم جریان بندتر محسوب می‌شوند. ماتسوموتو در یک گردآوری به بررسی جریان عبوری از اجسام با سطح مقطع‌های مختلف و نحوه قرارگیری متفاوت پرداخته است [۱]. گانتر شو به بررسی اثر افزایش عدد رینولدز بر رفتار جریان اطراف اجسام با خاصیت جریان‌بندی کمتر و بیشتر پرداخته است [۲]. بررسی آزمایشگاهی آنها در محدوده وسیعی از اعداد رینولدز ($Re=10^4-10^7$) نشان داد که جریان اطراف اجسام دوبعدی می‌تواند کاملاً سهبعدی باشد. همچنین ساریگلو و یاووز نیز بطور تجربی به بررسی جریان اطراف سیلندرهای مربعی و دایره‌ای با شعاع هیدرولیکی مشابه پرداختند [۳]. در اعداد رینولدز بسیار کم، جریان کاملاً به سطح جسم چسبیده و جداش جریان رخ نمی‌دهد. با افزایش عدد رینولدز، خطوط جریان از لبه‌های فرار جسم جدا شده و یک جفت ناحیه گردابه‌ای متقابل در پشت جسم ایجاد می‌شود. با افزایش بیشتر عدد رینولدز، ابعاد نواحی گردابه‌ای بوجود آمده، بزرگ‌تر شده تا اینکه از حالت دائم خارج و بصورت یکی در میان از سطح جسم جدا و در جریان پایین دست ریزش می‌یابند. به این پدیده نایابدار که با افزایش عدد رینولدز قدرتمندتر هم می‌شود، ریزش گردابه گویند. در این گذر، جریان از حالت دائم به حالت غیر دائم- تناوبی تبدیل می‌شود. ارتعاش بوجود آمده به واسطه ریزش گردابه، یکی از نگرانی‌های اصلی در مورد سازه‌هایی است که در معرض جریان قرار دارند. برای قادر بودن در جلوگیری کردن از ایجاد نیروهای آئرودینامیکی مخرب وارد بر سازه‌ها، ابتدا بایستی منشأ ایجاد این نیروها بطور واضح مشخص شود. مطالعات انجام شده، شباهت‌هایی بین جریان اطراف یک جسم جریان‌بند و دو جسم جریان‌بند را نشان می‌دهد. در این نوع جریان‌ها بعلت وجود دو جسم در مسیر جریان و اثر متقابل آنها

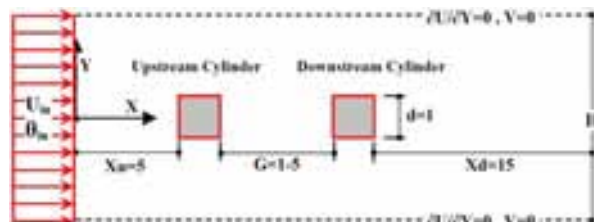
$$Nu = \frac{hd}{k} = -\frac{\partial \theta}{\partial n} \Big|_{Wall} \quad (5)$$

که k, h به ترتیب ضرایب انتقال حرارت جابجایی و رسانایی هستند و n امتداد عمود بر وجوه سیلندرهاست.

جهت حل عددی معادلات از یک کد حجم محدود مبتنی بر الگوریتم SIMPELC و شبکه جابجا نشده استفاده شده است. در گسته‌سازی معادلات، روش کوئیک برای ترم‌های جابجایی و روش کرانک-نیکلسون مرتبه دوم برای ترم زمانی بکار گرفته شده‌اند. همچنین گام زمانی ۰/۰۲۵ در اجراء‌های کامپیوتربی در نظر گرفته می‌شود. در ورودی دامنه حل جریان یکنواخت $V_{in} = \theta_{in} = 0, U_{in} = 1$ بر دیوارهای سیلندرها شرط عدم لغزش و دمای ثابت یکنواخت $U_w = V_w = 0, \theta_w = 1$ ، در مراتبی بالا و باین شرط دیوار بدون اصطکاک و در خروجی شرط مرزی جریان توسعه یافته استفاده شده است. برای حل عددی مسئله، بایستی میدان محاسباتی نشان داده شده در شکل(۱) را شبکه‌بندی کرد. بعلت وجود مراتبی جامد سیلندرها در مسیر جریان، از شبکه غیریکنواخت استفاده می‌شود. بدین منظور، در نواحی اطراف سیلندرها به اندازه ابعاد سیلندرها، شبکه‌های غیریکنواخت و به کمک توابع توزیع تانزانت هایپربولیک ایجاد شده است. در دیگر نواحی از شبکه‌هایی یکنواخت به اندازه آخرین شبکه تولید شده در نواحی با توزیع غیر یکنواخت شبکه، استفاده شده است. استفاده ازتابع توزیع تانزانت هایپربولیک، علاوه بر کاهش خطای دنباله، تداخل بهتر نواحی با توزیع شبکه یکنواخت و غیریکنواخت را فراهم می‌سازد.

در شکل‌های (۲-الف) و (۲-ب) توزیع اندازه حجم‌های کنترل به ترتیب در امتداد محورهای X و Y نشان داده شده است. مشاهده می‌شود که بیشترین تراکم حجم‌های کنترل در مجاورت دیواره سیلندرها می‌باشد. همچنین در نواحی دور از دیواره سیلندرها، از شبکه‌های یکنواخت استفاده شده است. اندازه بدون بعد بزرگترین و کوچکترین حجم کنترل به ترتیب در مجاورت دیواره سیلندرها برابر با $0/005^3$ و در نواحی با توزیع یکنواخت برابر با $0/018$ می‌باشد. بعارتی دیگر اندازه بزرگترین حجم کنترل در حدود 34 برابر کوچکترین حجم کنترل خواهد بود. در فاصله بین سیلندری به علت تشکیل، رشد و ریزش نواحی چرخشی تشکیل شده پشت سیلندر بالا دست و تأثیر بسزا بر رفتار جریان اطراف سیلندر پایین دست از شبکه‌های یکنواخت با اندازه کوچکتر در مقایسه با دیگر نواحی یکنواخت دامنه حل ایجاد شده است.

سیلندری مختلف بانک اطلاعاتی برای پارامترهای مختلف جریان و انتقال حرارت با شرایط مرزی در نظر گرفته شده بdst خواهد آمد.



شکل (۱): نحوه قرار گیری سیلندرها در مقابل جریان

۲- معادلات حاکم، روش حل عددی و شرایط مرزی

معادلات حاکم بر مسئله معادلات ناویر-استوکس و انرژی می‌باشند که برای جریان ناپایای دوبعدی غیر قابل تراکم در فرم بقایی و بصورت بدون بعد زیر ارائه شده‌اند:

معادله پیوستگی:

$$\frac{\partial U}{\partial X} + \frac{\partial V}{\partial Y} = 0 \quad (1)$$

معادله مومنتوم در امتداد محور X:

$$\frac{\partial U}{\partial \tau} + \frac{\partial(UU)}{\partial X} + \frac{\partial(VU)}{\partial Y} = -\frac{\partial P}{\partial X} + \frac{1}{Re} \left(\frac{\partial^2 U}{\partial X^2} + \frac{\partial^2 U}{\partial Y^2} \right) \quad (2)$$

معادله مومنتوم در امتداد محور Y:

$$\frac{\partial V}{\partial \tau} + \frac{\partial(UV)}{\partial X} + \frac{\partial(VV)}{\partial Y} = -\frac{\partial P}{\partial Y} + \frac{1}{Re} \left(\frac{\partial^2 V}{\partial X^2} + \frac{\partial^2 V}{\partial Y^2} \right) \quad (3)$$

معادله انرژی:

$$\frac{\partial \theta}{\partial \tau} + \frac{\partial(U\theta)}{\partial X} + \frac{\partial(V\theta)}{\partial Y} = \frac{1}{RePr} \left(\frac{\partial^2 \theta}{\partial X^2} + \frac{\partial^2 \theta}{\partial Y^2} \right) \quad (4)$$

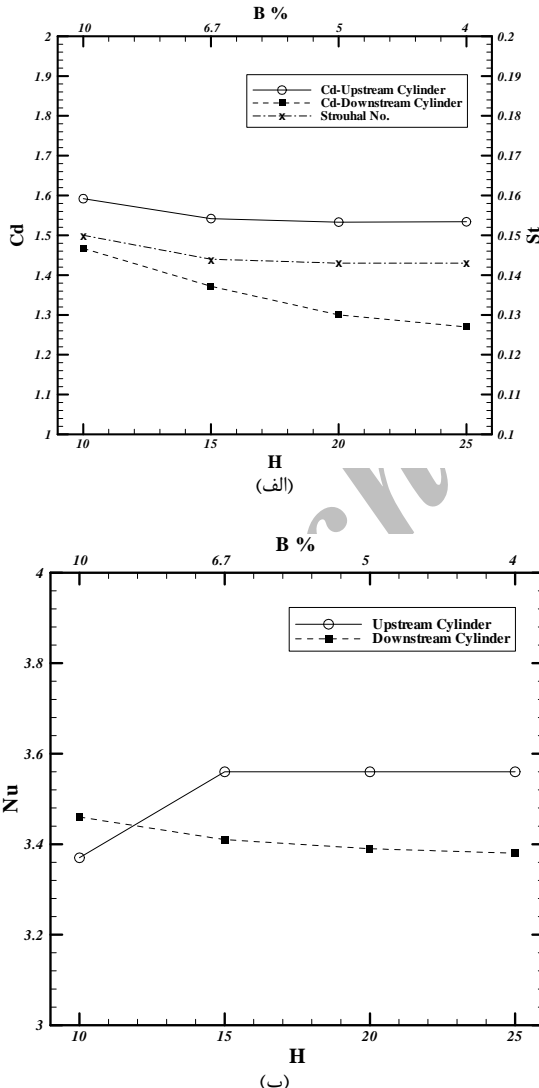
کلیه معادلات قبل به کمک روابط زیر بدون بعد شده‌اند:

$$\tau = \frac{tu_{in}}{d}, P = \frac{p}{\rho u_{in}^2}, U = \frac{u}{u_{in}}, V = \frac{v}{u_{in}}, \theta = \frac{T - T_{in}}{T_W - T_{in}}$$

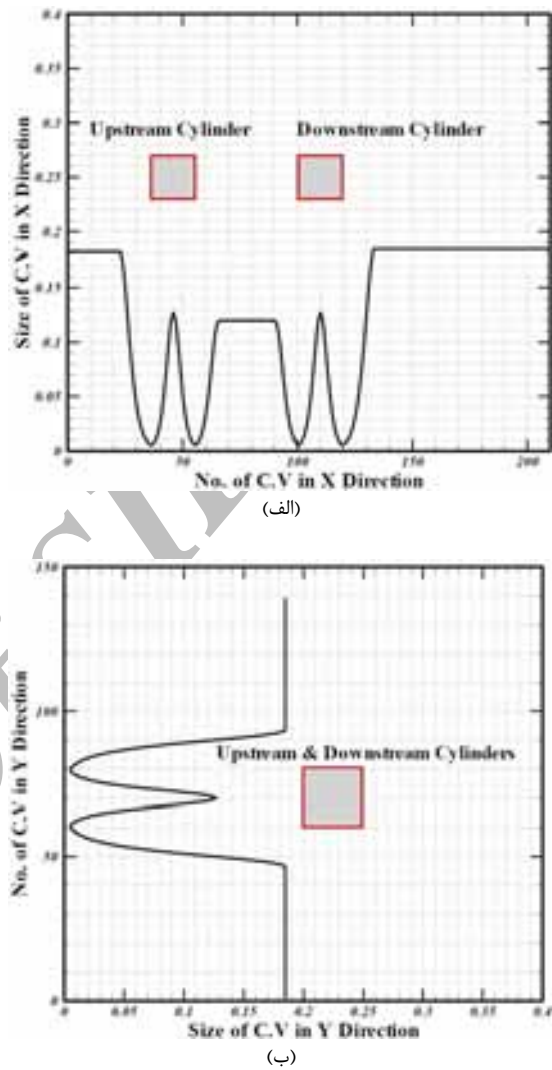
ضمناً کلیه ابعاد هندسی با پهنهای سیلندرها، d بی بعد شده‌اند. علاوه برای بدون بعد کردن دما، از دمای سیلندرها T_w و دمای سیال T_{in} استفاده شده است.

معادلات پیش با توجه به ثابت بودن لزجت و چگالی سیال و با فرض قابل صرفنظر بودن پخش ویسکوز، بdst آمده‌اند. اعداد رینولدز، استروهال و پرانتل به بصورت $Pr = \nu/\alpha, St = fd/u_{in}, Re = u_{in}d/v$ تعریف می‌شوند، که در آنها u_{in} سرعت جریان ورودی d ابعاد سیلندرها و f فرکانس ریزش گردابه هستند. همچنین α, ν, ρ به ترتیب چگالی، لزجت سینماتیکی سیال و ضریب پخش حرارتی هستند و ثابت فرض می‌شوند. عدد نوسلت موضعی بوسیله گرادیان دما عمودی بر دیوارهای سیلندرها بصورت زیر محاسبه می‌شود:

مسیر جریان و اثر متقابل آنها بر رفتار جریان عرضی اطراف یکدیگر، مطالعه نسبت انسداد لازم به نظر می‌رسد. بررسی‌های انجام شده نشان می‌دهد که ($B = 20 \times d$ ($B = 5\%$)) $H = 20 \times d$ نیز وجود مرزهای آزاد را تأثیر می‌نماید. در شکل‌های (۳-الف و -۳-ب) اثر تغییر نسبت انسداد بر پارامترهای مختلف جریان نشان داده شده است. با توجه به اینکه مرزهای بالا و پایین میدان حل، بعنوان مرز بدون اصطکاک در نظر گرفته می‌شود، انتخاب H کوچک باعث اعمال یکنواختی میدان سرعت در نزدیکی این مرزها خواهد شد، در حالی که در واقعیت فیزیکی، جریان اطراف سیلندرها به فضای بیشتری برای تطبیق با جریان پس زده شده بوسیله سیلندرها نیاز دارد که این می‌تواند منجر به افزایش غیر واقعی سرعت موثر جریان در اطراف سیلندرها شود.



شکل (۳): اثر تغییر نسبت انسداد بر (الف) ضریب پسا و عدد استروهال
 (ب) عدد نوسلت

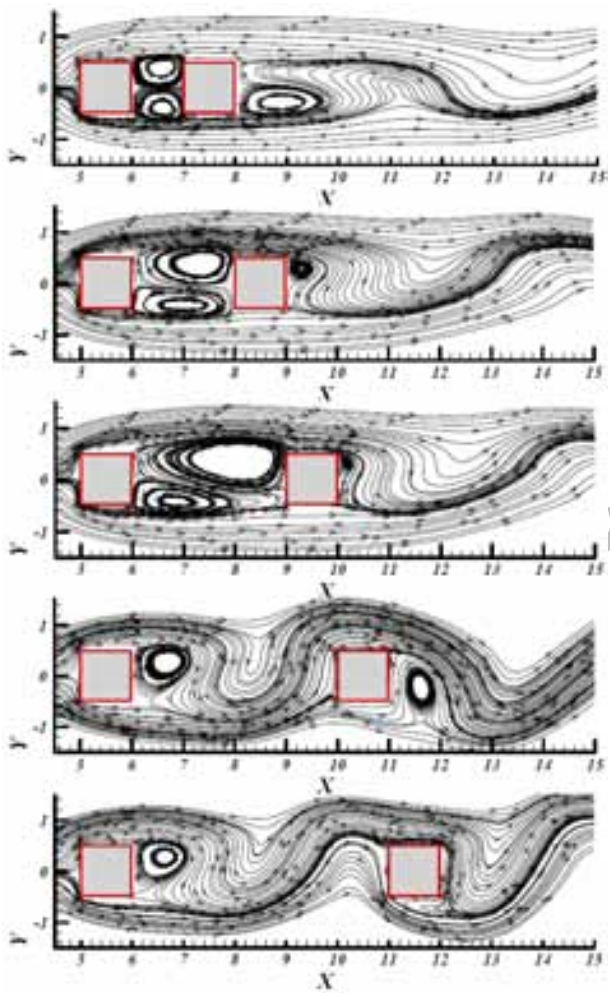


شکل (۲): توزیع اندازه حجم‌های کنترل شبکه ایجاد شده،
 الف) در امتداد محور X (ب) در امتداد محور Y

برای ایجاد میدان محاسباتی مناسب، بایستی شرایط مرزی منطبق بر واقعیت‌های فیزیکی بر مسئله اعمال شود. انتظار می‌رود اگر عرض میدان محاسباتی به اندازه کافی بزرگ انتخاب شود، جریان در مرزهای بالا و پایین دامنه حل به شرایط جریان آزاد میل کند. این به منزله اثر ناچیز مرزهای مذکور بر رفتار جریان در نواحی اطراف سیلندرهاست. بعبارتی دیگر این مرزها باید به اندازه کافی دور از سیلندرها باشند، تا شرط مرزی جریان آزاد را ارضا نمایند. نسبت عرض سیلندرها به عرض میدان حل $\frac{d}{H}$ را نسبت انسداد گویند.

در مرجع بررسی دقیق و با جزئیات، اثر نسبت انسداد بر رفتار جریان اطراف یک سیلندر مربعی انجام شده است [۱۱]. در آنجا نشان داده شد که اگر $H = 20 \times d$ ($B = 5\%$) باشد، مرزها بطور مناسبی دور از سیلندر واقع شده‌اند. در تحقیق حاضر بعلت وجود دو سیلندر در

سیلندر بالادست آغاز می‌شود در محدوده $G=1-2$ قرار دارد. بعلاوه بررسی‌های انجام شده نشان‌دهنده کاهش فاصله بین سیلندری بحرانی با افزایش عدد رینولذز جریان است. عبارتی دیگر کاهش فاصله بین سیلندری موجب افزایش عدد رینولذز بحرانی خواهد شد. مثلاً برای فاصله بین سیلندری $G=2$ عدد رینولذز بحرانی در محدوده $Re < 100$ است در حالیکه برای فاصله بین سیلندری $G=1$ عدد رینولذز بحرانی در محدوده $Re > 100$ قرار دارد.



شکل (۴): خطوط جریان لحاظهای نواحی اطراف سیلندرهای ۱-۵، $Re=100$ ، $G=1-5$

در محدوده جریان غیردائم- تناوبی محاسبه مقادیر متوسط پارامترهای مختلف جریان و میدان متوسط‌گیری شده، با متوسط گیری زمانی برای تعداد صحیحی از دوره تناوب جریان انجام شده است. همچنین برای محاسبه مقادیر متوسط عدد نوسلت سیلندرها و وجوده مختلف آنها علاوه بر متوسط‌گیری زمانی، متوسط‌گیری مکانی نیز انجام گرفته است.

این افزایش سرعت، باعث افزایش عدد استروهال و کاهش بیشتر فشار خصوصاً در ناحیه مکش پشت سیلندرها شده و در نتیجه ضریب پسا افزایش می‌یابد. مشاهده می‌شود بیشترین تغییرات منحنی پارامترهای مختلف رسم شده در شکل‌های مذکور با کاهش نسبت انسداد از $10\% / 6.7\%$ است. همچنین ملاحظه می‌شود، کاهش بیشتر نسبت انسداد از $4\% / 6.7\%$ تا مقدار $4\% / 6.7\%$ تا نتیجه افزایش بحرانی بر نتایج بدست آمده برای مختلف کمیت‌های میدان جریان سیال و انتقال حرارت سیلندرها دارد. این در حالی است که در اثر کاهش هرچه بیشتر نسبت انسداد عرض میدان محاسباتی گسترش یافته و مدت زمان اجرای برنامه‌های کامپیوترا در اثر افزایش تعداد حجم‌های کنترل دامنه حل افزایش چشمگیری خواهد داشت. در نتیجه از $H = 20 \times d$ ($B = 5\%$) برای کلیه شبیه سازی‌های این تحقیق استفاده شده است. افزایش چشمگیری خواهد داشت. در نتیجه از $H = 20 \times d$ ($B = 5\%$) برای کلیه شبیه سازی‌های این تحقیق استفاده شده است.

۳- ارائه نتایج

برای اطمینان از صحت نتایج بدست آمده، مقادیر مختلف پارامترهای جریان با نتایج موجود برای هندسه یک سیلندری مقایسه شده است. علت این موضوع عدم وجود نتایج هندسه دو سیلندری برای اعداد رینولذز و شرایط مرزی مورد نظر در تحقیق حاضر است. حداکثر اختلاف مشاهده شده برای اعداد استروهال و عدد نوسلت متوسط سیلندر به ترتیب $5\% / 4.2\%$ است. نتایج کامل این مقایسه در مرجع آورده شده است [۱۲]. در مطالعه حاضر جریان اطراف دو سیلندر با مقطع مربعی در محدوده اعداد $Re = 1-200$ در جریان آرام و دوبعدی بررسی شده است. برای فاصله بین سیلندری $G=5$ در محدوده اعداد $Re \leq 35$ در جریان بصورت دائم باقی مانده در حالیکه در محدوده اعداد $Re \geq 40$ جریان غیر دائم- تناوبی بوجود می‌آید. عدد رینولذز بحرانی نشان دهنده آغاز ریزش گردابه از هر دو سیلندر است که برای فاصله بین سیلندری $G=5$ در محدوده $Re = 35-40$ تعیین شده است.

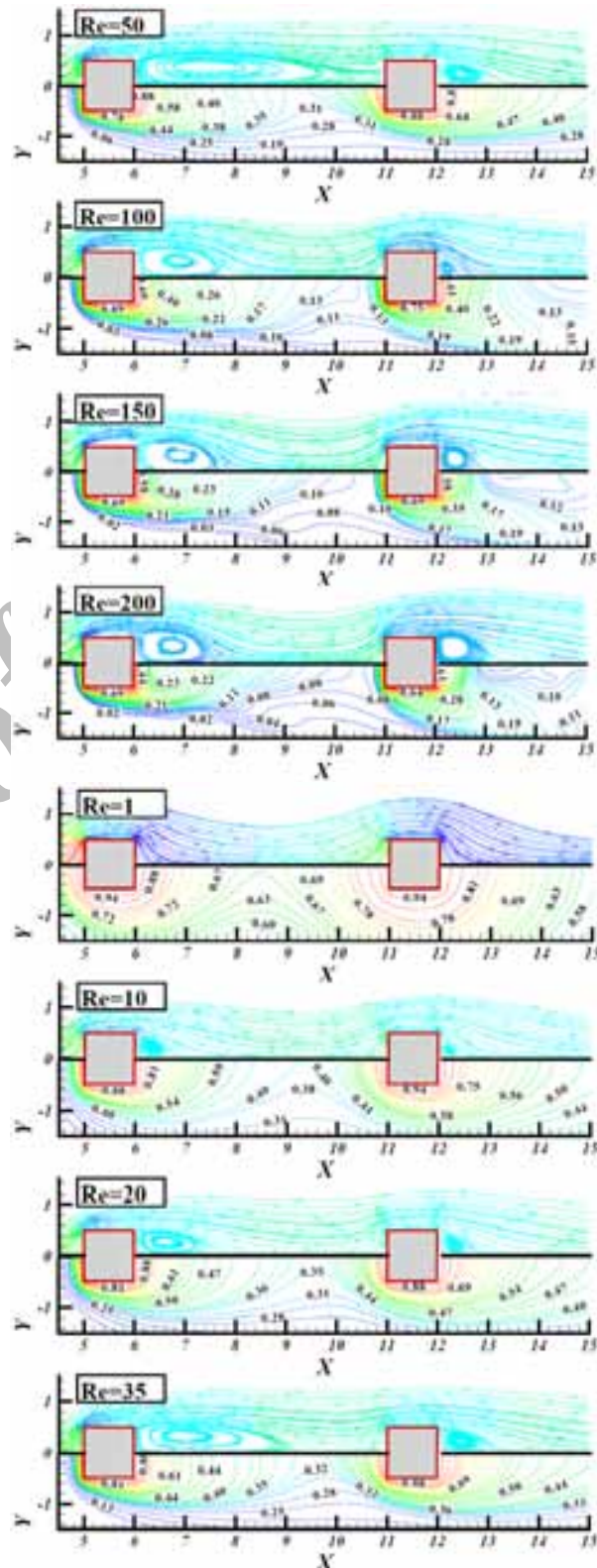
در شکل (۴) خطوط جریان نواحی اطراف سیلندرها برای $Re = 100$ و فواصل بین سیلندری مختلف نشان داده شده است. ملاحظه می‌شود برای فاصله بین سیلندری $G=1$ جریان اطراف سیلندر بالادست و ناحیه بین سیلندری بطور دائم بوده و ریزش گردابه تنها از سیلندر پایین دست رخ می‌دهد. با افزایش فاصله بین سیلندری تقارن جریان در ناحیه بین سیلندری محو شده و ریزش گردابه از هر دو سیلندر آغاز می‌شود. با این بررسی دریافت می‌شود که برای عدد رینولذز $Re = 100$ فاصله بین سیلندری بحرانی که ریزش گردابه از

ساختار جریان نوسانی و انتقال حرارت از دو سیلندر مربعی گرم پشت سر هم

زمانی شده (تصاویر سمت راست) برای فاصله بین سیلندری $G=5$

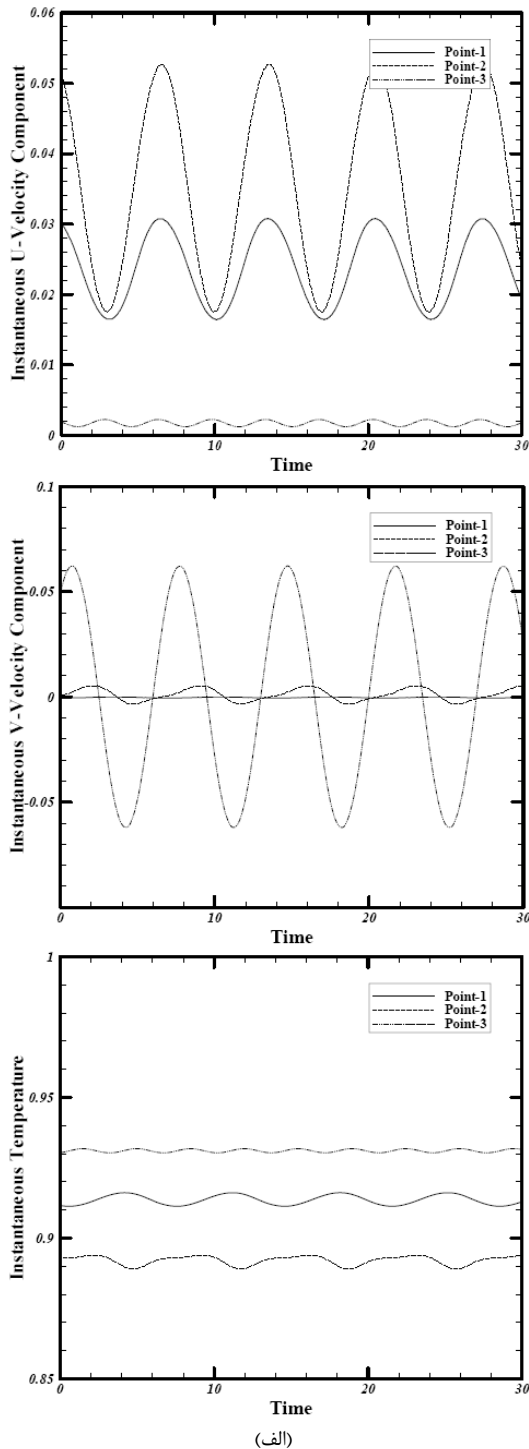
در شکل (۵) الگوی جریان نواحی اطراف سیلندرها نشان داده شده است. در محدوده جریان دائم، الگوی جریان لحظه‌ای و در محدوده جریان غیردائم، الگوی جریان متوسط‌گیری شده زمانی مشاهده می‌شود. نیمه بالایی تصاویر، خطوط جریان رنگ شده توسط فشار و نیمه پایینی، خطوط هم دما را نشان می‌دهند. در نیمه بالای شکل (۵) مشاهده می‌شود که برای $Re=1$ خطوط جریان کاملاً به جداره سیلندرها چسبیده و پدیده جدایش جریان رخ نمی‌دهد. با افزایش عدد رینولذز و افزایش اینرسی جریان جدایش جریان رخ داده و نواحی گردابهای در پشت سیلندرها بوجود می‌آیند. محل جدایش جریان همواره بر لبه‌های فرار سیلندر پایین دست قرار دارد این در حالی است که برای $Re \geq 125$ محل جدایش جریان از لبه‌های فرار سیلندر بالا درست به لبه‌های حمله منتقل خواهد شد. با انتقال محل جدایش جریان از لبه‌های فرار به لبه‌های حمله سیلندر بالا درست دو ناحیه چرخشی چسبیده به وجود بالایی و پایینی سیلندر بوجود می‌آید. با افزایش عدد رینولذز، این نواحی چرخشی در امتداد وجود مذکور امتداد یافته و در جهت جریان عرضی نیز گسترش می‌یابند. بطوریکه بر نواحی چرخشی پشت سیلندر بالا درست امتداد می‌یابند.

در شکل (۶-الف) الگوی دمای جریان لحظه‌ای نواحی اطراف سیلندرها برای عدد رینولذز $Re = 100$ و فاصله بین سیلندری مختلف نشان داده شده است. همانطور که مشاهده می‌شود با افزایش فاصله بین سیلندری تقارن الگوی دما در فضای بین سیلندری محو شده و تراکم خطوط هم دما در مجاورت دیوارهای سیلندرها افزایش می‌یابد. افزایش تراکم خطوط هم دما به منزله افزایش گرادیان دما و افزایش انتقال حرارت از دیوارهای گرم سیلندرها خواهد بود. همچنین تعداد نواحی گرم جدا شده و ریزش یافته در جریان پایین دست سیلندرها بیانگر افزایش سرعت انتقال حرارت از سیلندرها در مقابل افزایش فاصله بین سیلندری است. در شکل (۶-ب) الگوی دمای جریان لحظه‌ای نواحی اطراف سیلندرها برای فاصله بین سیلندری $G=5$ در اعداد رینولذز مختلف نشان داده شده است. برای عدد رینولذز $Re=1$ بواسطه تقارن الگوی خطوط جریان و توزیع فشار نواحی اطراف سیلندرها، الگوی دمایی متقاضی وجود دارد. در حالیکه با افزایش عدد رینولذز الگوی متقاضی توزیع دما از بین خواهد رفت. بعلاوه در عدد رینولذز $Re=50$ بواسطه بزرگ بودن ناحیه چرخشی بین سیلندری تقریباً تمام فضای بین سیلندرها از نواحی گرم پر شده است. این در حالی است که با افزایش عدد رینولذز و کوچک شدن ابعاد نواحی چرخشی بین

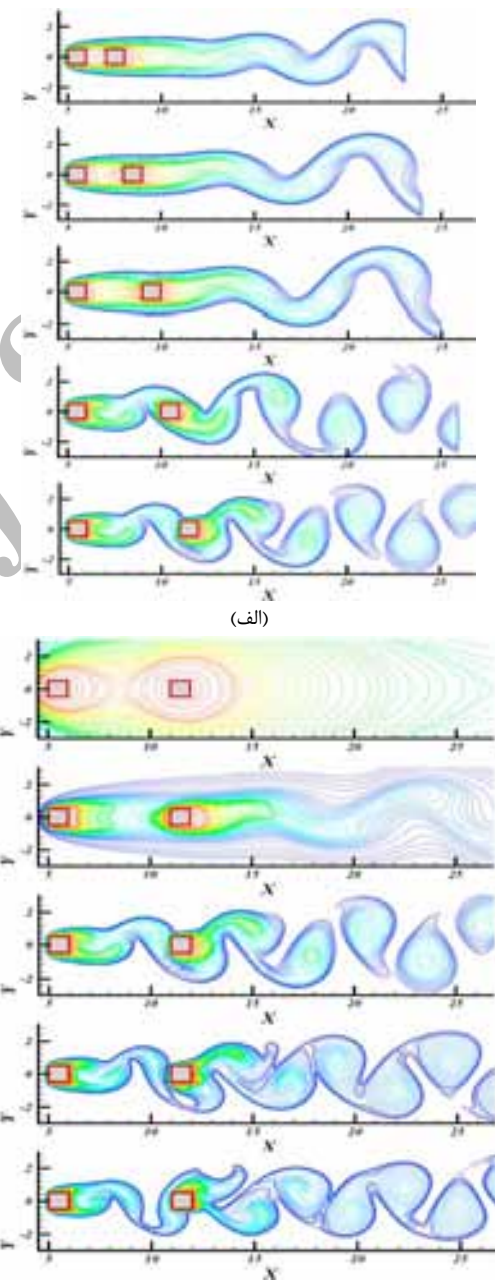


شکل (۵) خطوط جریان رنگ شده توسط فشار (نیمه بالای تصاویر) و دما ثابت (نیمه پایینی تصاویر) نواحی اطراف سیلندرها در اعداد رینولذز مختلف در محدوده جریان دائم (تصاویر سمت چپ) و جریان غیردائم-تناوبی متوسط‌گیری

در شکل‌های (الف) و (ب) تغییرات زمانی مؤلفه‌های سرعت و دمای جریان لحظه‌ای در نقاط مشخص شده اطراف سیلندرها نشان داده شده است. نقاط به ترتیب شماره در مجاورت میانه دیواره بالایی، لبه فرار بالایی (یا پایینی) و مجاورت میانه دیواره پشتی اختیار شده‌اند.

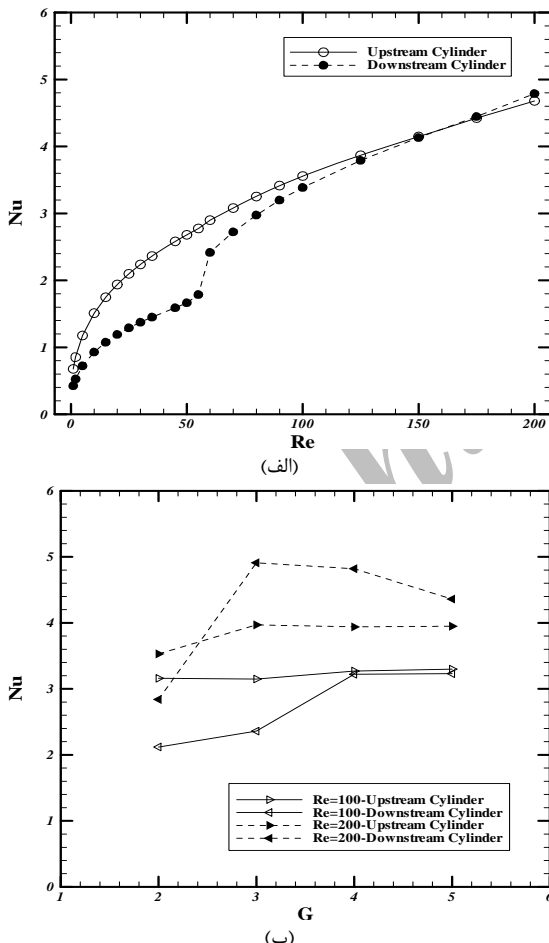


سیلندری، گرادیان دمایی در مجاورت دیوار پشتی سیلندر بالادست و دیوار جلویی سیلندر پایین دست افزایش می‌یابد. بعلاوه با افزایش عدد رینولدز گرادیان دمای مجاور دیوارهای سیلندرها افزایش یافته و انتقال حرارت از سیلندرها نیز افزایش می‌یابد.



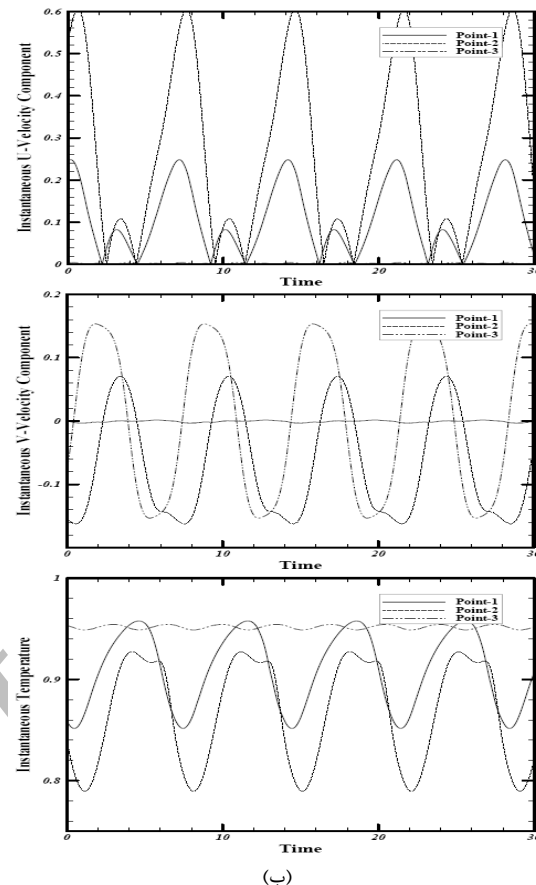
شکل(۶) الگوی دمای جریان لحظه‌ای نواحی اطراف سیلندرها در مقابل
الف) افزایش فاصله بین سیلندری $G=1-5$ برای $Re=100$ ، ب) افزایش عدد
رینولدز $Re=1,50,100,150,200$ برای $G=5$

در شکل‌های (۸-الف) و (۸-ب) تغییرات عدد نوسلت متوسط سیلندرها در مقابل افزایش عدد رینولدز برای فاصله بین سیلندری $G=5$ و افزایش فاصله بین سیلندری برای اعداد رینولدز $Re=100, 200$ نشان داده شده است. عدد نوسلت متوسط سیلندرها با میانگین‌گیری مکانی از مقادیر توزیع عدد نوسلت چهارچوب مختلف سیلندرها در میدان متوسط‌گیری شده زمانی به دست آمدند. افزایش عدد رینولدز جریان که به منزله افزایش اینرسی جریان است، موجب تراکم هر چه بیشتر خطوط هم دما در نواحی اطراف سیلندرها خواهد شد. تراکم خطوط هم دما (گرادیان شدیدتر) خود موجب افزایش اختلاف دمای سیلندرها و سیال مجاور می‌شود. این امر موجب افزایش انتقال حرارت از دیوارهای سیلندرها و به دنبال آن افزایش عدد نوسلت سیلندرها می‌شود.



شکل(۸): تغییرات عدد نوسلت سیلندرها در مقابل (الف) افزایش عدد رینولدز برای $Re=100, 200$ و (ب) افزایش فاصله بین سیلندری برای $G=5$

در شکل (۸-الف) تغییرات عدد نوسلت سیلندر پایین دست، افزایش نسبتاً شدیدی در محدوده اعداد رینولدز $55-60$ دارد. علت این



شکل(۷): تغییرات زمانی مؤلفه سرعت و دما در نقاط مشخص شده برای $G=5$ در اطراف، نقطه ۱ در مجاورت میانه دیواره بالایی، نقطه ۲ در مجاورت لبه فرار بالایی و نقطه ۳ در مجاورت میانه دیواره پشتی

فاصله عمودی بدون بعد نقاط فوق تا دیوارهای سیلندرها یا امتداد آنها برابر با 0.03 است. ملاحظه می‌شود نوسانات پارامترهای مشخص مربوط به سیلندر پایین دست بیش از سیلندر بالا دارد است. علت این امر قرار داشتن سیلندر بالا دست در مسیر جریان برخورده به سیلندر پایین دست است. همچنین بیشترین و کمترین نوسانات مؤلفه افقی سرعت و دما به ترتیب مربوط به نقاط ۲ و ۳ می‌باشد. نقطه ۳ بواسطه قرار گرفتن در ناحیه ویک سیلندرها دارای نوسانات کمتری است. این در حالی است که نقطه ۲ در معرض جریان طولی و عرضی ناشی از ریزش گردابه قرار داشته و بدین علت نوسانات مذکور در این ناحیه بیش از دیگر نواحی اطراف سیلندرها خواهد بود. همچنین نوسانات مؤلفه عمودی سرعت در نقطه ۳ بیشترین مقدار را دارد. علت این موضوع ناشی از امتداد قرارگیری دیوار پشتی و لایه مرزی بوجود آمده در تشکیل، رشد و ریزش گردابه‌های پشت سیلندرها است.

حالی است که محل جدایش جریان همواره بر لبه‌های فرار سیلندر پایین دست قرار دارد. با تغییر محل جدایش جریان از لبه‌های فرار به لبه‌های حمله سیلندر بالا دست، دو ناحیه چرخشی چسبیده به وجود بالایی و پایینی آن بوجود می‌آید. همچنین با افزایش عدد رینولدز و فاصله بین سیلندرها سرعت ریزش نواحی گردابهای نیز افزایش خواهد یافت.

همچنین ویژگی‌های انتقال حرارت، خطوط هم دما و عدد نوسلت سیلندرها برای $Pr = 0.71$ ارائه شده است. بررسی‌ها نشان داد که افزایش عدد رینولدز جریان موجب افزایش تراکم خطوط هم دما در نواحی اطراف سیلندرها می‌شود. این امر باعث افزایش اختلاف دمای جداره‌های سیلندرها و سیال مجاور آنها می‌شود. در نتیجه انتقال حرارت از دیوارهای سیلندرها نیز افزایش خواهد یافت. بیشترین و کمترین تراکم خطوط هم دما به ترتیب در مجاورت وجه جلویی و پشتی سیلندرها هستند. در نتیجه بیشترین و کمترین میزان انتقال حرارت به ترتیب از وجه جلویی و پشتی سیلندرها نیز می‌باشد. عدد نوسلت متوسط سیلندرها با میانگین‌گیری از مقادیر توزیع عدد نوسلت بر وجود مختلف سیلندرها در میدان متوسط‌گیری شده محاسبه می‌شود. علاوه بررسی‌ها نشان دهنده افزایش عدد نوسلت سیلندرها در مقابل افزایش عدد رینولدز و فاصله بین سیلندرها است.

۵- فهرست علائم

B	نسبت انسداد
Cd	ضریب نیروی پسای کل وارد بر سیلندرها
Cl	ضریب نیروی برآ وارد بر سیلندرها
d	بعاد سیلندرهای مربعی
f	فرکانس ریزش گردابه
G	فاصله بدون بعد بین سیلندرها
h	ضریب انتقال حرارت جابجایی
H	عرض میدان محاسبات
k	ضریب انتقال حرارت رسانایی
n	امتداد عمود بر دیواره سیلندرها
Nu	عدد نوسلت
P	فشار
P	فشار بدون بعد
Pr	عدد پرانتل
Re	عدد رینولدز
St	عدد استروهال
t	دما

موضوع کوچک شدن ابعاد نواحی چرخشی بین سیلندری است که فرست بیشتری جهت انتقال حرارت سیال گرم با جریان آزاد و از دست دادن دما پیش از برخورد با وجه جلویی سیلندر پایین دست را بوجود می‌آورد. بررسی‌ها نشان می‌دهد که برای محدوده اعداد رینولدز $Re \geq 125$ به علت تغییر محل جدایش جریان از لبه‌های فرار به لبه‌های حمله سیلندر بالا دست و تشکیل دو ناحیه چرخشی چسبیده به وجود بالایی و پایینی آن، میزان انتقال حرارت از آن وجود در مقایسه با وجود مشابه سیلندر پایین دست کاهش یافته و این امر موجب افزایش نسبی عدد نوسلت سیلندر پایین دست نسبت به سیلندر بالا دست خواهد شد. بیشترین و کمترین میزان انتقال حرارت و عدد نوسلت به ترتیب مربوط به وجه جلویی و پشتی سیلندرهایست. علت این موضوع تشکیل ناحیه سکون در مجاورت وجه جلویی و تشکیل ناحیه چرخشی در پشت سیلندرها می‌باشد. در شکل ۸-ب) تغییرات عدد نوسلت سیلندرها در مقابل افزایش فاصله بین سیلندری برای اعداد رینولدز $Re = 100, 200$ نشان داده شده است. مشاهده می‌شود که تغییر فاصله بین سیلندری، بیشترین تأثیر را بر عدد نوسلت سیلندر پایین دست دارد. بدین دلیل که افزایش فاصله سیلندرها موجب افزایش تبادل حرارتی سیال گرم با محیط سرد اطراف پیش از برخورد به سیلندر پایین دست شده و این امر گردایان دما در نواحی مجاور دیوارهای سیلندر پایین دست و میزان انتقال حرارت از آن را افزایش داده است. تغییرات نسبتاً شدید منحنی عدد نوسلت سیلندر پایین دست ناشی از تغییرات شدید الگوی جریان در فاصله بین سیلندری با افزایش فاصله سیلندرها از یکدیگر است. در نتیجه سرعت ریزش گردابهای و سرعت انتقال حرارت از سیلندر پایین دست نیز افزایش خواهد یافت.

۴- جمع‌بندی و نتیجه گیری

تحقیق حاضر به مطالعه و بررسی ویژگی‌های جریان و انتقال حرارت اطراف دو سیلندر مربعی هم اندازه دو بعدی در محدوده جریان آرام ($1 \leq Re \leq 200$) و فواصل بین سیلندری متفاوت پرداخته است. بررسی‌ها نشان داد که برای $G = 5$ جریان در محدوده $Re \leq 35$ دائم است. در حالی که در محدوده $Re \geq 40$ غیر دائم می‌شود. گذراز حالت دائم به حالت غیر دائم-تناوبی در محدوده $Re = 35 - 40$ رخ می‌دهد. بر اساس محل و نحوه جدایش جریان سه حالت متفاوت مشاهده می‌شود. اول: آغاز جدایش جریان از لبه‌های فرار سیلندرها در محدوده $1 < Re \leq 2$ برای سیلندر بالا دست و $5 < Re \leq 2$ برای سیلندر پایین دست. دوم: آغاز ریزش گردابه از لبه‌های فرار سیلندرها در محدوده $35 < Re \leq 40$. سوم: آغاز جدایش جریان از لبه‌های حمله سیلندر بالا دست در محدوده $125 < Re \leq 100$. این در

- [5] Valencia, A., "Unsteady Flow and Heat Transfer in a Channel with a Built-in Tandem of Rectangular Cylinders", Numerical Heat Transfer, 1996, Part A, 26, pp. 613-623.
- [6] Valencia, A., "Numerical Study of Self-Sustained Oscillatory Flows and Heat Transfer in Channels with a Tandem of Transverse Vortex Generators", Heat and Mass Transfer, 1998, 33, pp. 465-470.
- [7] Rosales, J. L., Ortega, A. and Humphrey, J. A. C., "A Numerical Simulation of the Convective Heat Transfer in Confined Channel Flow Past Square Cylinders: Comparison of Inline and Offset Tandem Pairs", Int. J. of Heat and Mass Transfer, 2001, 44, pp. 587-603.
- [8] Mizushima, J. and Akinaga, T., "Vortex Shedding from a Row of Square Bars", Fluid Dynamics Research, 2003, 32, pp. 179-191.
- [۹] اطمینان، ا. و سوهانکار، ا.، "مطالعه جریان و انتقال حرارت غیردائم اطراف دو سیلندر در یک خط"، پاتردهمین کنفرانس بین‌المللی مهندسی مکانیک، تهران، دانشگاه صنعتی امیرکبیر، ۱۳۸۶.
- [10] Yen, S. C., San, K. C. and Chuang, T. H., "Interactions of Tandem Square Cylinders at Low Reynolds numbers. Experimental Thermal and Fluid Science", accepted for publication, 2007.
- [11] Sohankar, A., Norberg, C. and Davidson, L., "Low-Reynolds-Number Flow Around a Square Cylinder at Incidence: Study of Blockage", Onset of Vortex Shedding and Outlet Boundary Condition, Int. J. for Numer. Meth. In Fluids, 1998, 26, pp. 39-56.
- [۱۲] اطمینان، ا.، " شبیه‌سازی عددی جریان سیال و انتقال حرارت حول دو سیلندر با مقطعه مربعی "، پایان‌نامه کارشناسی ارشد، دانشگاه یزد، ۱۳۸۵.

u	مولفه سرعت در امتداد جریان
U	مولفه سرعت بدون بعد در امتداد جریان
v	مولفه سرعت عمود بر امتداد جریان
V	مولفه سرعت بدون بعد عمود بر امتداد جریان
x	مختصات در امتداد جریان
X	مختصات بدون بعد در امتداد جریان
Xd	فاصله بدون بعد سیلندر پایین دست تا مرز خروجی
Xu	فاصله بدون بعد سیلندر بالا دست تا مرز ورودی
y	مختصات عمود بر امتداد جریان
Y	مختصات بدون بعد عمود بر امتداد جریان
α	ضریب پخش حرارتی
θ	دمای بدون بعد
v	لزجت سینماتیکی
ρ	چگالی سیال
τ	زمان بدون بعد

۶- مراجع

- [1] Matsumoto, M., "Vortex Shedding of Bluff Bodies A Review", J. Fluids and Structures, 1999, 13, pp. 791-811.
- [2] Günter Schewe, "Reynolds-number Effects in Flow Around More-or-less Bluff Bodies", J. Wind Eng. Ind. Aerodyn., 2001, 89, pp. 1267-1289.
- [3] Sarioglu, M. and Yavuz, T., "Subcritical Flow Around Bluff Bodies", AIAA, 2002, 40, 7, pp. 1257-1268.
- [4] Tatsutani, K., Devarakonda, R. and Humphrey, J. A. C., "Unsteady Flow and Heat Transfer for Cylinder Pairs in a Channel", Int. J. Heat Mass Transfer, 1993, 33, pp. 3311-3328.